

Laboratori Sistemes de Suport a la Informació. 2024 Control del Texas TSL1401 mediante microcontrolador ARDUINO. Triangulación Óptica.

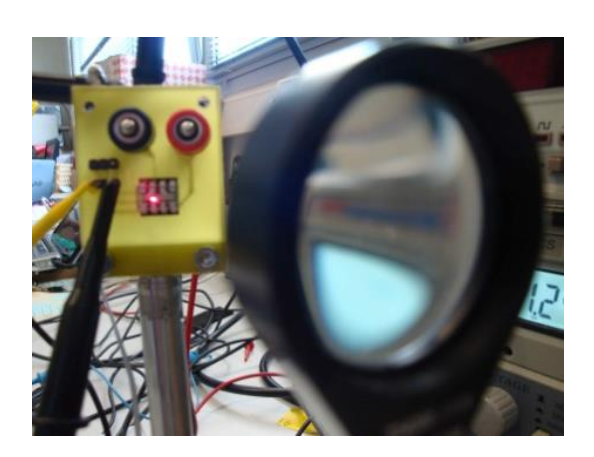
# **LABORATORI**

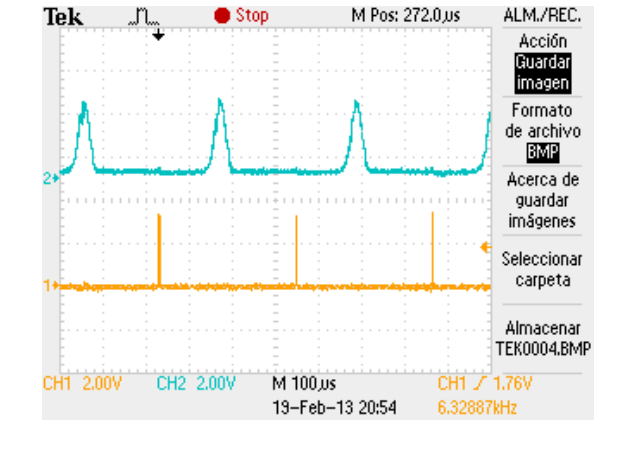
# Laboratori Sistemes de Suport a la Informació.

**SSTIC** (Sistemes Suport per les TIC)

# **Miniproyecto**

# Desarrollo de una aplicación de Medida de distancias por Triangulación Óptica. Obtención de la Sección de un Objeto en Rotación







Por: Mauricio Moreno Sereno

Agradecimientos:

Francisco Palacio Bonet Iván Bernat Ubiaga Fernando Arreza Martin



Laboratori Sistemes de Suport a la Informació. 2024 Control del Texas TSL1401 mediante microcontrolador ARDUINO. Triangulación Óptica.

# Índice

# Objetivos.

- 1. Introducción.
- 2. La triangulación óptica.
  - 2.1 Ejemplos comerciales.
  - 2.2 Nuestro montaje óptico.
- 3. El array lineal de 128 fotodetectores TSL1401.
- 4. El Microcontrolador: ARDUINO.
- 5. Nivel de programación 1: Generación de las señales de control del TSL1401
- 6. Nivel de programación 2: motor paso-a-paso.
- 7. Nivel de programación 3: adquisición de la lectura del sensor con el ADC.
- 8. Nivel de programación 4: configuración/transmisión con UART
- 9. Nivel de programación 5: Recepción de datos con MATLAB.

# Bibliografía:

http://taosinc.com for TAOS products (= http://ams.com)http://www.microchip.com

http://www.ti.com/product/MSP430F5529



Laboratori Sistemes de Suport a la Informació. 2024 Control del Texas TSL1401 mediante microcontrolador ARDUINO. Triangulación Óptica.

## **Objetivos:**

- 1. Conocer la técnica de triangulación óptica.
- 2. Conocer el array de fotodetectores TAOS TSL1401.
- 3. Conocer el entorno de programación MPLAB.
- 4. Programar las señales de control y comunicación serie con MICROCHIP Microstick
- 5. Realizar un montaje óptico susceptible de medir distancias.

#### 1. Introducción.

Dentro de las técnicas ópticas para medida de distancias se tiene:

- i) la medida por <u>tiempo de vuelo</u> (*radar laser*), para medias y largas distancias. Se mide el tiempo de retorno de un pulso de luz.
- ii) la triangulación óptica, para cortas y medias distancias, que se describe más adelante.
- la <u>interferometría</u>, para medidas en el rango de milímetros y con precisiones de nanómetros, basada en las interferencia de un haz de luz de referencia y un haz de luz "reflejado" por el objeto a medir.

Los sistemas basados en ultrasonidos son de bajo coste pero presentan algunas desventajas: i) el haz emitido es muy ancho y presenta poca resolución y ii) se pueden producir reflexiones especulares.

## 2. La triangulación óptica.

La técnica de medida de distancias por triangulación óptica se representa en la figura 1. En la parte de transmisión se tiene un láser y la óptica apropiada para focalizar el láser. En el punto o<sub>1</sub>, donde se produce el impacto del láser en el objeto, se produce la difusión de éste. La luz dispersada por el objeto que atraviesa la lente 2 se hace converger mediante una lente adecuada sobre el punto a<sub>1</sub> en el dispositivo PSD (Position Sensor Device). Si el objeto a medir se encuentra en la posición o<sub>2</sub>, a una distancia D del caso anterior, el punto imagen en el PSD a través del sistema óptico es el punto a<sub>2</sub>. Fijada la geometría del sistema, el rango de medida, o<sub>1</sub>-o<sub>2</sub>, vendrá determinado por el tamaño del dispositivo lineal de medida a través de las posiciones a<sub>1</sub>-a<sub>2</sub>.

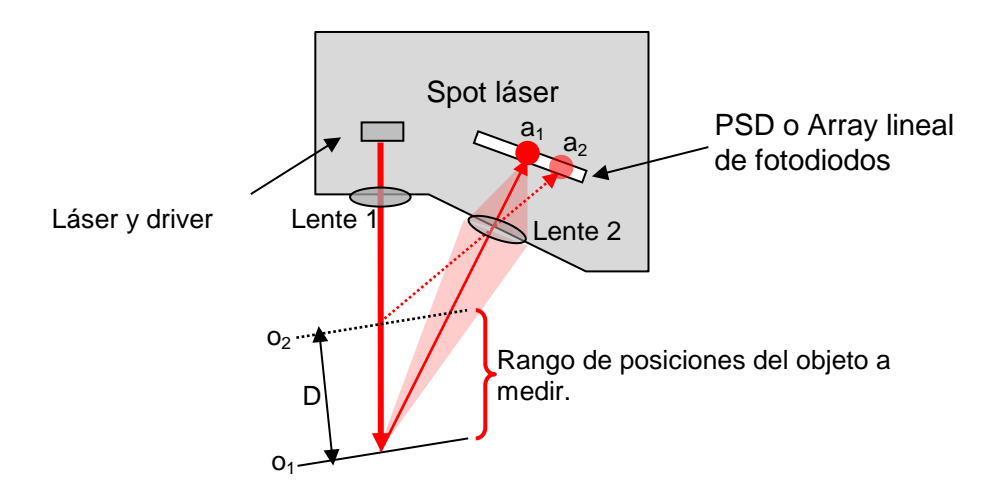


Figura 1. Esquema de un sistema por triangulación láser.



# Laboratori Sistemes de Suport a la Informació. 2024 Control del Texas TSL1401 mediante microcontrolador ARDUINO. Triangulación Óptica.

La distancia a medir se puede expresar en función de la posición del haz reflejado sobre el PSD o array de detectores. De forma muy aproximada:

$$D = \frac{f \cdot a}{x}$$

Siendo:

D distancia a medir.

a distancia entre emisor y receptor

f focal de la lente en el receptor.

x posición sobre el PSD en el que se focaliza el haz reflejado

Puede existir algún problema de linealidad entre la distancia al objeto y la posición en el dispositivo sensor. Para mantener un buen enfoque en todo el campo de profundidad del detector se debe satisfacer la condición de **Scheimpflug**, que describe la orientación en el foco del sistema (cámara) cuando la lente no está paralela al plano imagen.

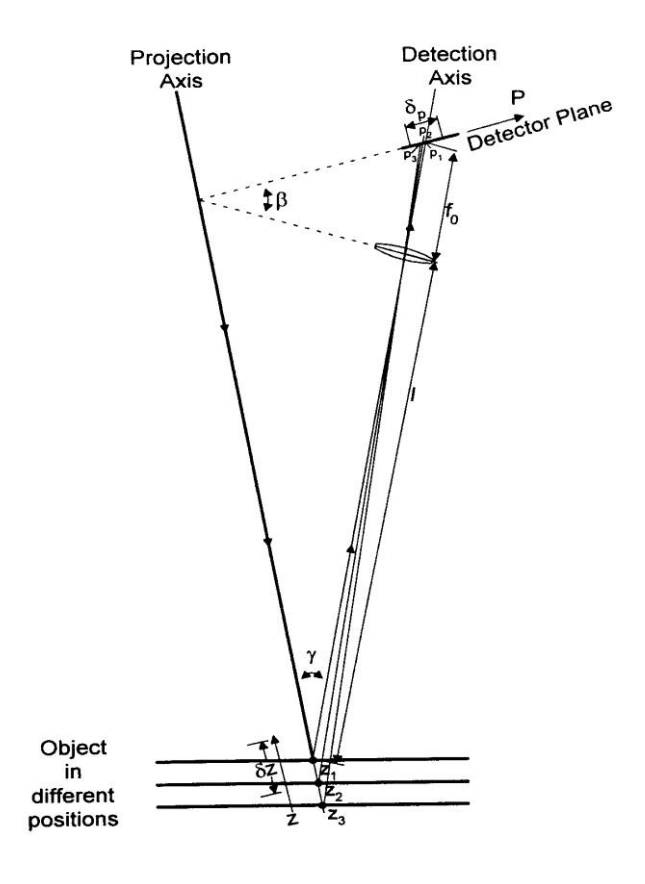
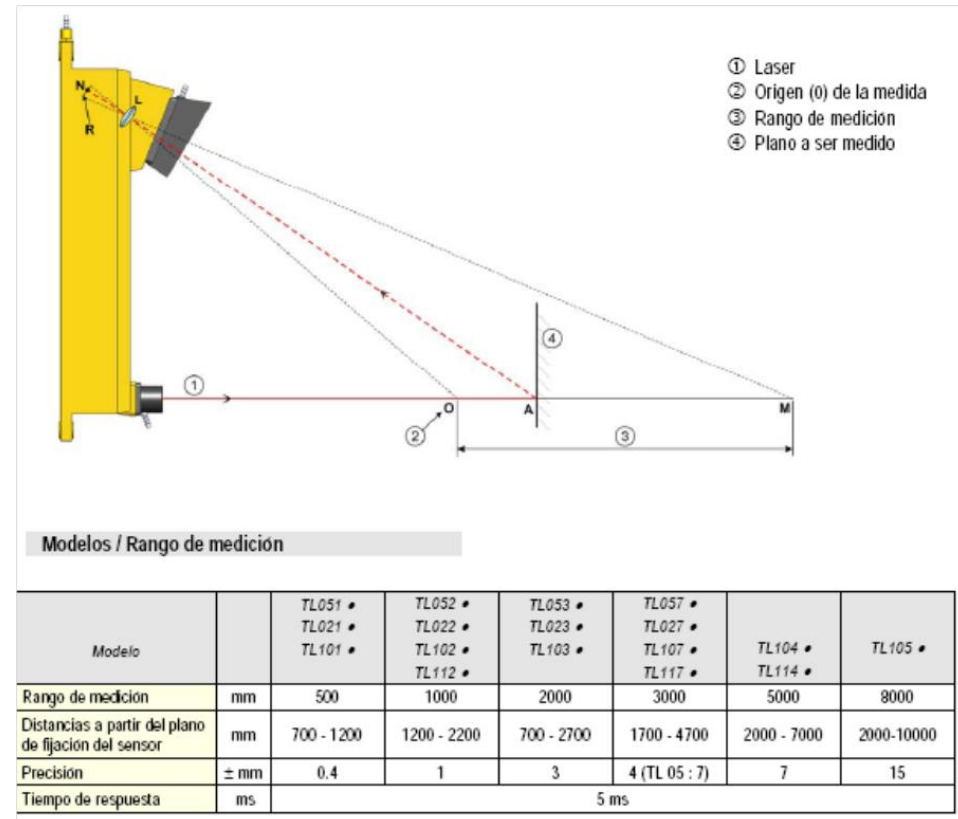


Figura 2. Condición de Scheimpflug.

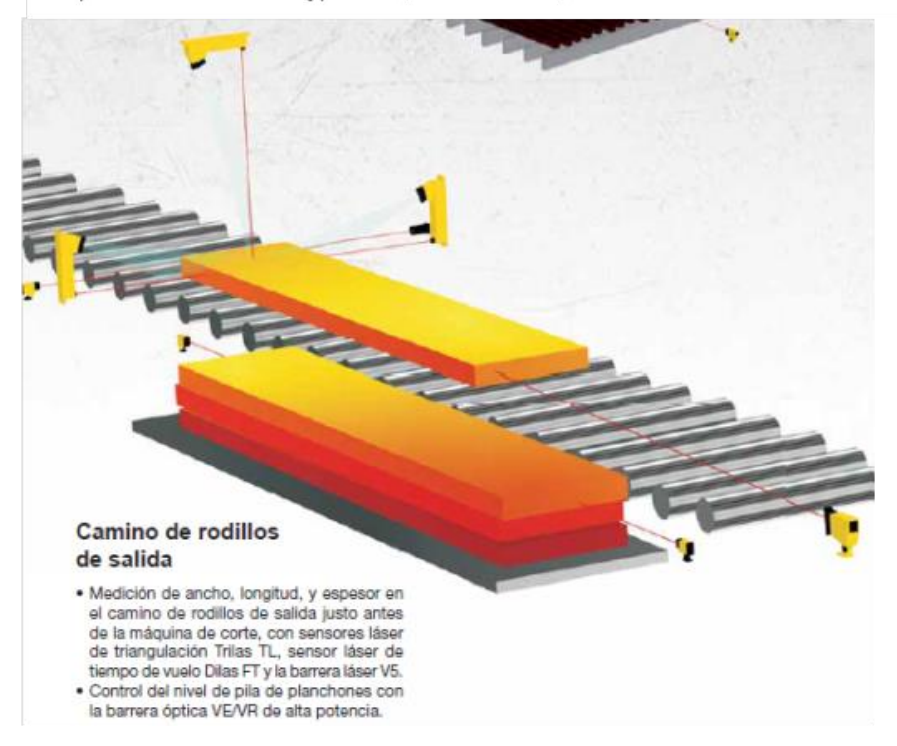


Laboratori Sistemes de Suport a la Informació. 2024 Control del Texas TSL1401 mediante microcontrolador ARDUINO. Triangulación Óptica.

# 2.1 Ejemplos comerciales.



A pedido se ofrecen otras distancias y precisiones. (TL • • #• • soluciones)



**Figura 3.** DELTA SENSORS<sup>™</sup>. Sensores y Sistemas para la Industria Siderúrgica



Laboratori Sistemes de Suport a la Informació. 2024 Control del Texas TSL1401 mediante microcontrolador ARDUINO. Triangulación Óptica.



#### Series LG5/LG10 Series Q50

The design of the sensor series LG5/LG10 and Q50 operates on <u>optical</u> <u>triangulation</u>. The Q50 uses an LED as a light source, whereas the LG5 and LG10 series consists of laser sensors. The emitter circuitry and optics create a light beam which is directed toward a target. The light is reflected by the target back to the sensor's position-sensitive device (PSD) as the receiver element

| Housing type LG5/LG10, Laser position sensor |                            |                 |                |                           |  |
|--|----------------------------|-----------------|----------------|---------------------------|--|
| Bauform                                      | $H \times B \times T$ [mm] | Messbereich     | Brennweite     | Wiederholgenauigkeit/     |  |
| Housing                                      | $H \times W \times D$ [mm] | Measuring range | focal distance | Repeat accuracy           |  |
| LG5A   | 55,3 × 20,2 × 82,3         | 4560 mm         | 70 mm          | ≥ ± 0,01 % <sup>2</sup> ) |  |
| LG5A   | 55,3 × 20,2 × 82,3         | 4560 mm         | 53 mm          | ≥ ± 0,01 % <sup>2</sup> ) |  |
| LG10   | 55,3 × 20,2 × 82,3         | 75125 mm        | 180 mm         | ≥ ± 0,01 %²)              |  |



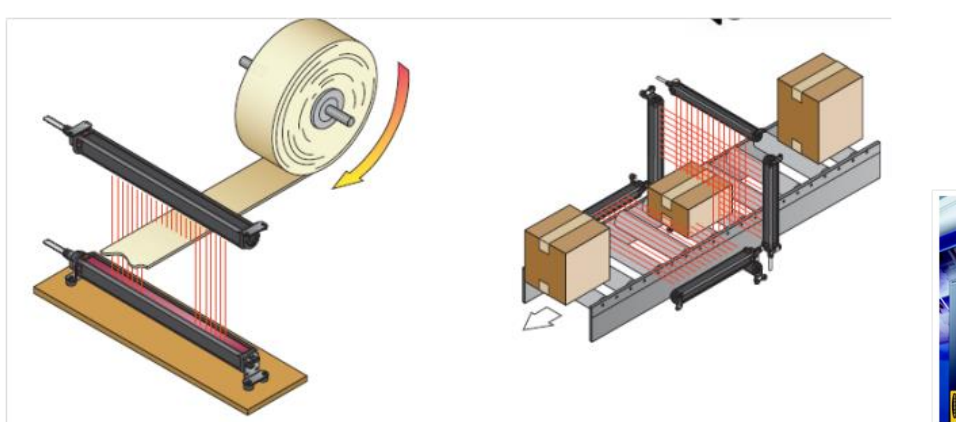
#### Series LT3

The LT3 uses <u>pulsed time-of-flight technology</u> to achieve unsurpassed performance. The laser pulses one million times per second. The microprocessor records the time required for each pulse to travel to the target and back to the sensor. Every millisecond, one thousand pulse times are averaged and the according value is transferred to the output.

The sensor's long range enables it to detect very small parts or inconspicuous features, even when it is mounted well back from the hazards of a process.

| Bauform LT3, Laser-Relexionslichtaster, Hohe Reichweite |                            |                 |                       |  |  |  |
|---|----------------------------|-----------------|-----------------------|--|--|--|
| Housing type LT3, diffuse mode laser sensor, long range |                            |                 |                       |  |  |  |
| Bauform   | $H \times B \times T$ [mm] | max. Reichweite | Wiederholgenauigkeit/ |  |  |  |
| Housing   | $H \times W \times T$ [mm] | max. range      | Repeat accuracy       |  |  |  |
| LT3   | 68,5 × 35,3 × 87           | 0,35 m          | ≥ ± 1 mm              |  |  |  |
| LT3LV1)   | 68,5 × 35,3 × 87           | 0,550 m         | ≥ ± 5 mm              |  |  |  |
| 1) mit Reflector/with reflector                         |                            |                 |                       |  |  |  |

#### MINI-ARRAY™



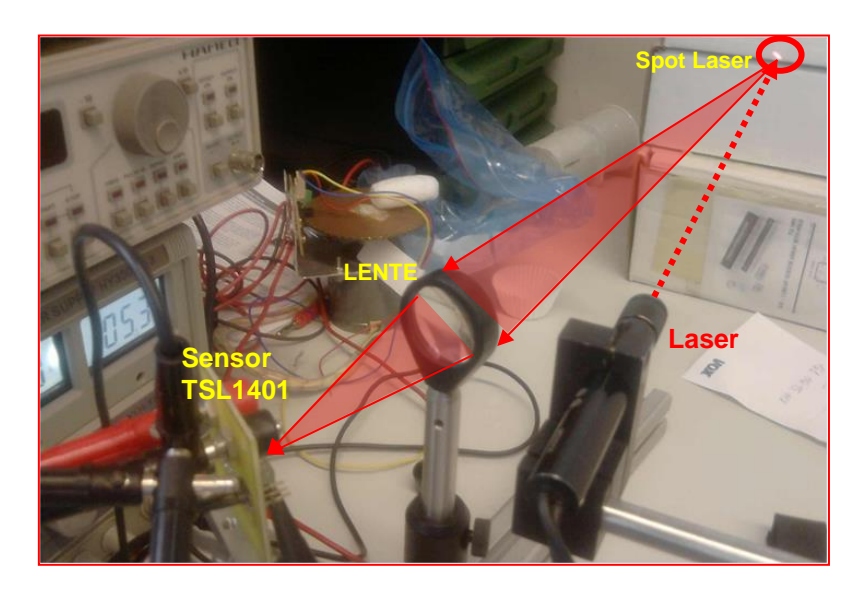


**Figura 4.** TURCK<sup>™</sup>. Industrial Automation. Position and Displacement Sensors - Photoelectric sensors



Laboratori Sistemes de Suport a la Informació. 2024 Control del Texas TSL1401 mediante microcontrolador ARDUINO. Triangulación Óptica.

## 2.2 Nuestro montaje óptico.



**Figura 5.** Fotografía del montaje óptico para la medida por triangulación óptica. La lente recoge un cono de luz procedente del "spot". La cantidad de luz dependerá del diámetro.

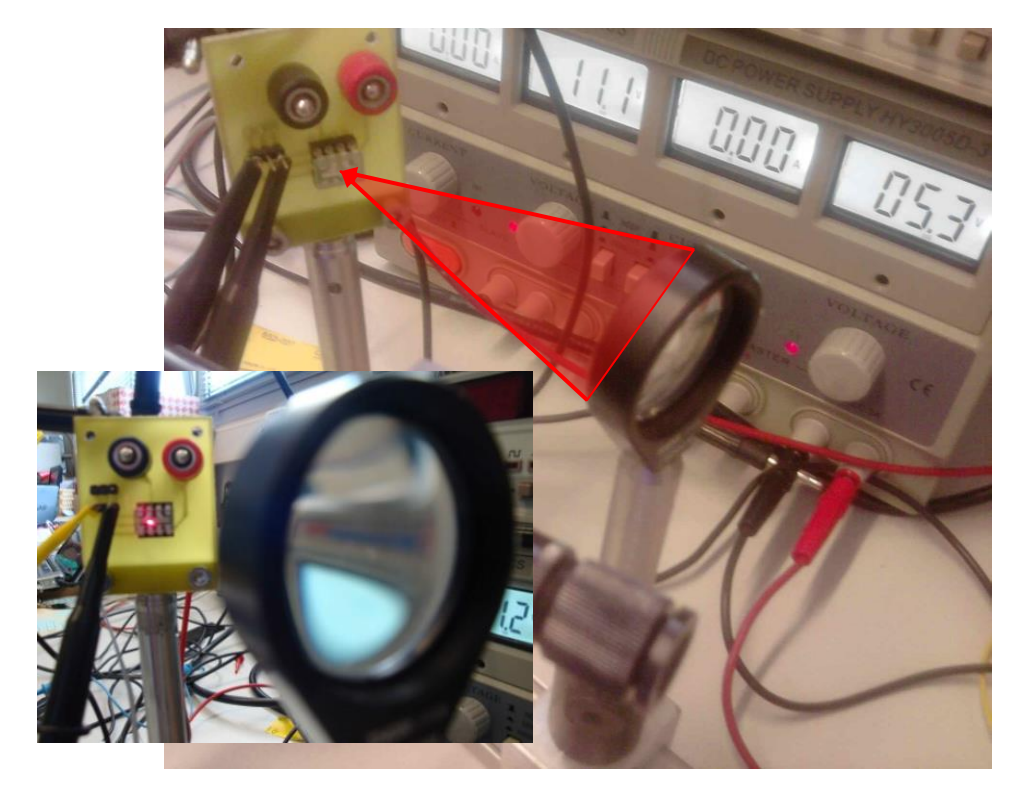


Figura 6. La lente focaliza el spot sobre el sensor.



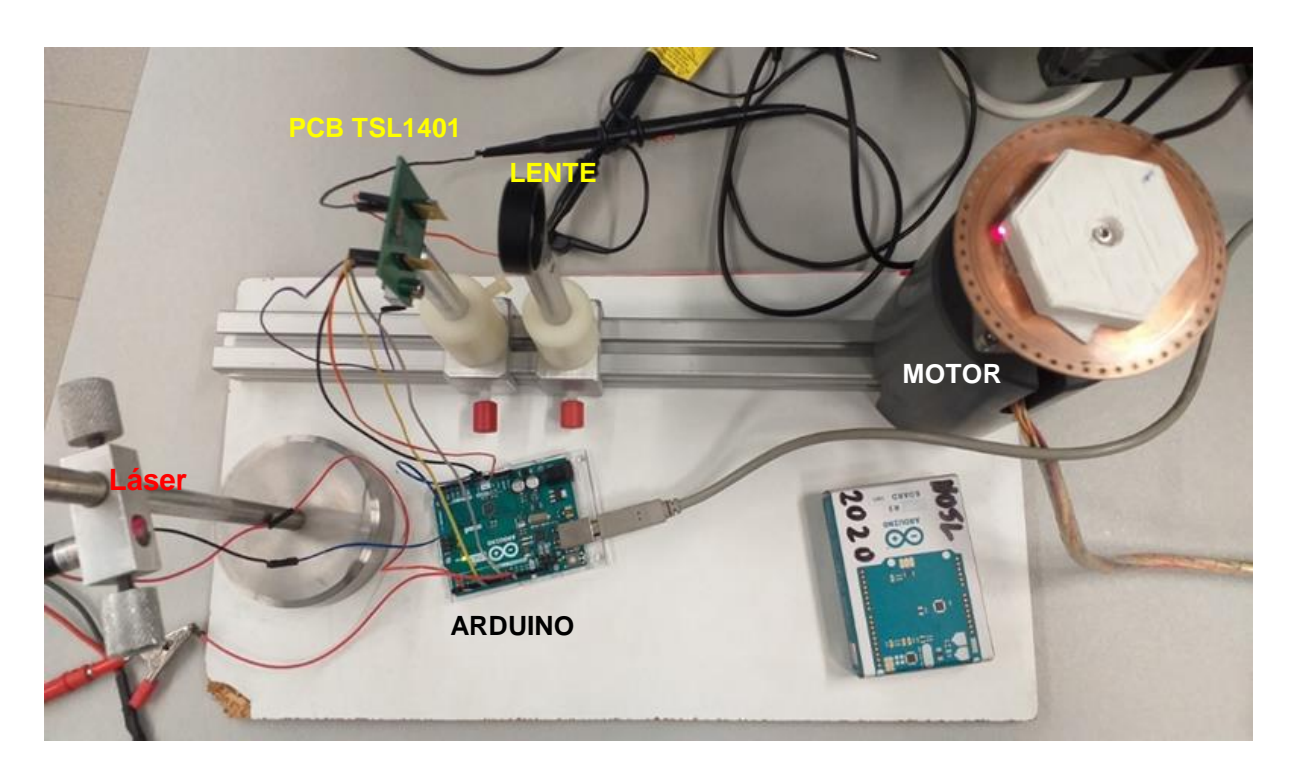


Figura 6b. Vista cenital del montaje.

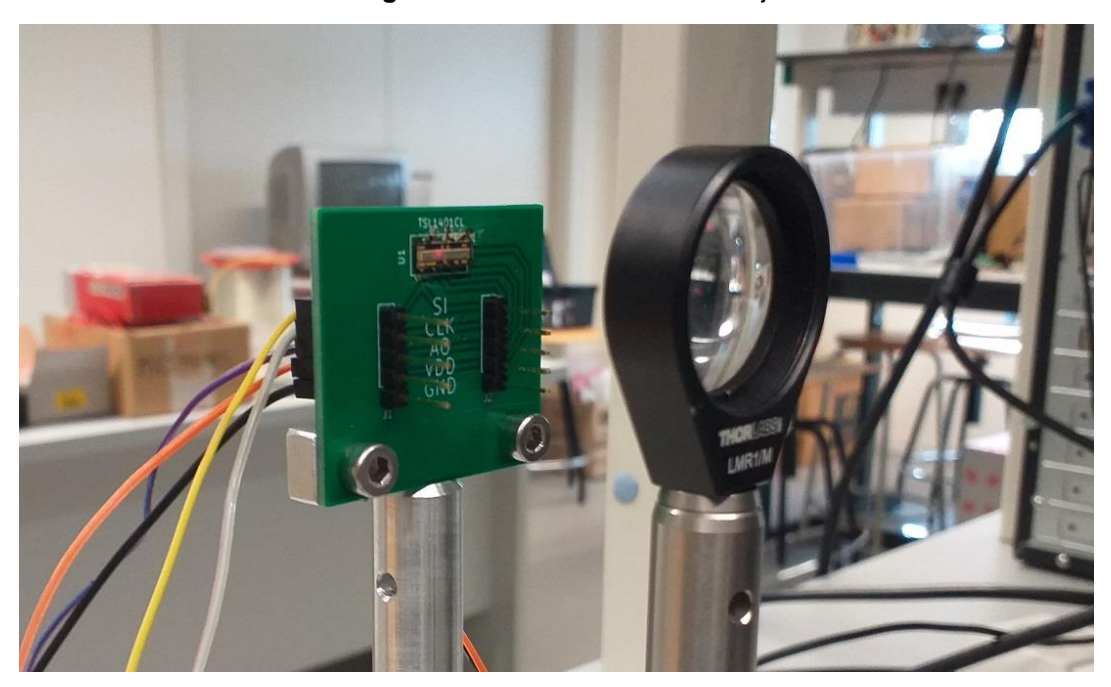


Figura 6c. Detalle lente más sensor con el spot-láser.

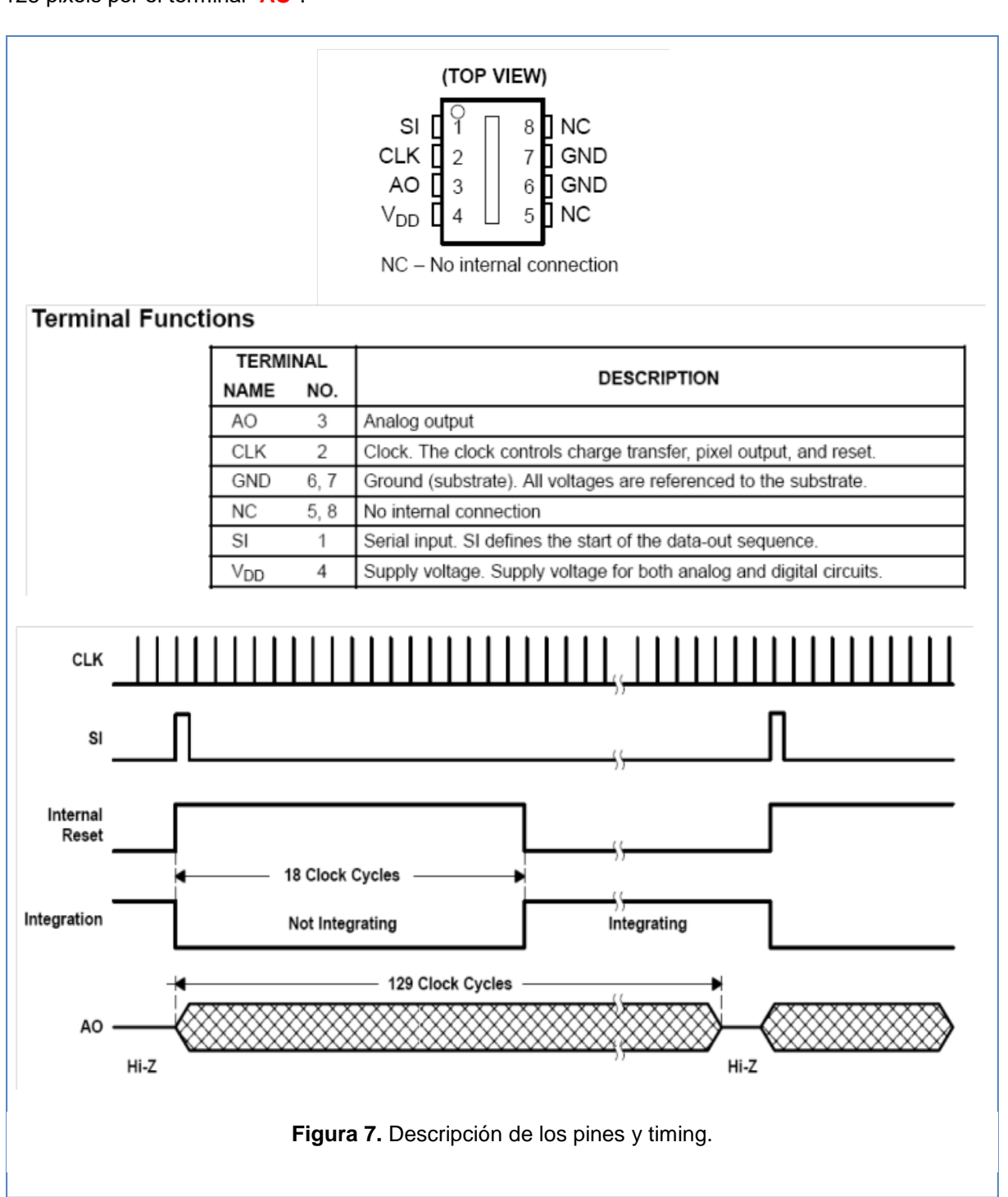


Laboratori Sistemes de Suport a la Informació. 2024 Control del Texas TSL1401 mediante microcontrolador ARDUINO. Triangulación Óptica.

#### 3. El array lineal de 128 fotodetectores TSL1401.

El TSL1401 es un array de 128 fotodetectores, cuyos pixels miden 63.5  $\mu$ m (H) x 55.5  $\mu$ m (W) con una separación entre centros de 63.5 $\mu$ m.

La figura 7 muestra el detalle de los pines del sensor lineal TSL1401, su función y el "timing" de las señales de control. La señal SI define el inicio de la lectura secuencial. El tiempo entre dos señales "SI" definen el "tiempo de integración". Cada pulso "CLK" define la salida secuencial de uno de los 128 pixels por el terminal "AO".





Wavelength of light source, \(\lambda\)

Sensor integration time, t<sub>int</sub>

Clock frequency, fclock

# Grau d'Enginyeria Electrònica de Telecomunicació

400

0.0645

1000

2000

100

nm

kHz

Laboratori Sistemes de Suport a la Informació. 2024 Control del Texas TSL1401 mediante microcontrolador ARDUINO. Triangulación Óptica.

En la figura 8 se muestran las condiciones de trabajo recomendadas.

| Recommended Operating Conditions (see Figure 1 and Figure 2) |   |                     |     |                     |      |
|--|---|---------------------|-----|---------------------|------|
|  |   | MIN                 | NOM | MAX                 | UNIT |
|  | Supply voltage, V <sub>DD</sub>           | 4.5                 | 5   | 5.5                 | V    |
|  | Input voltage, V <sub>I</sub>             | 0                   |     | $V_{DD}$            | V    |
|  | High-level input voltage, V <sub>IH</sub> | $V_{DD} \times 0.7$ |     | $V_{DD}$            | V    |
|  | Low-level input voltage, V <sub>IL</sub>  | 0                   |     | $V_{DD} \times 0.3$ | V    |

**Figura 8.** Valores recomendados. *El TSL1401 se alimenta a 5V* 

- La tensión de alimentación debe ser V<sub>DD</sub>=5V.
- Respecto al valor digital de entrada, el valor mínimo permitido para HIGH es 0.7\*5 =3.5. No obstante, las señales de control generadas por el PIC a 3.3V controlan perfectamente el dispositivo.

Finalmente, la figura 9 es una fotografía del PCB que utilizaremos con el TSL1401, con los dos pines de control (CLK y SI), el de salida (OUT), y los conectores de polarización (GND y  $V_{DD}$ ).

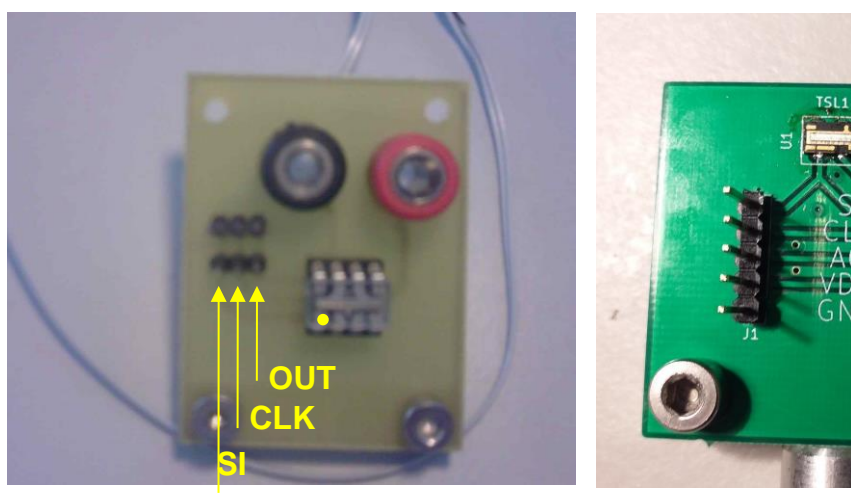




Figura 9. PCB conteniendo el TSL1401.



Laboratori Sistemes de Suport a la Informació. 2024 Control del Texas TSL1401 mediante microcontrolador ARDUINO. Triangulación Óptica.

#### El microcontrolador.

La figura 10 muestra el diagrama de la placa ARDUINO - UNO.

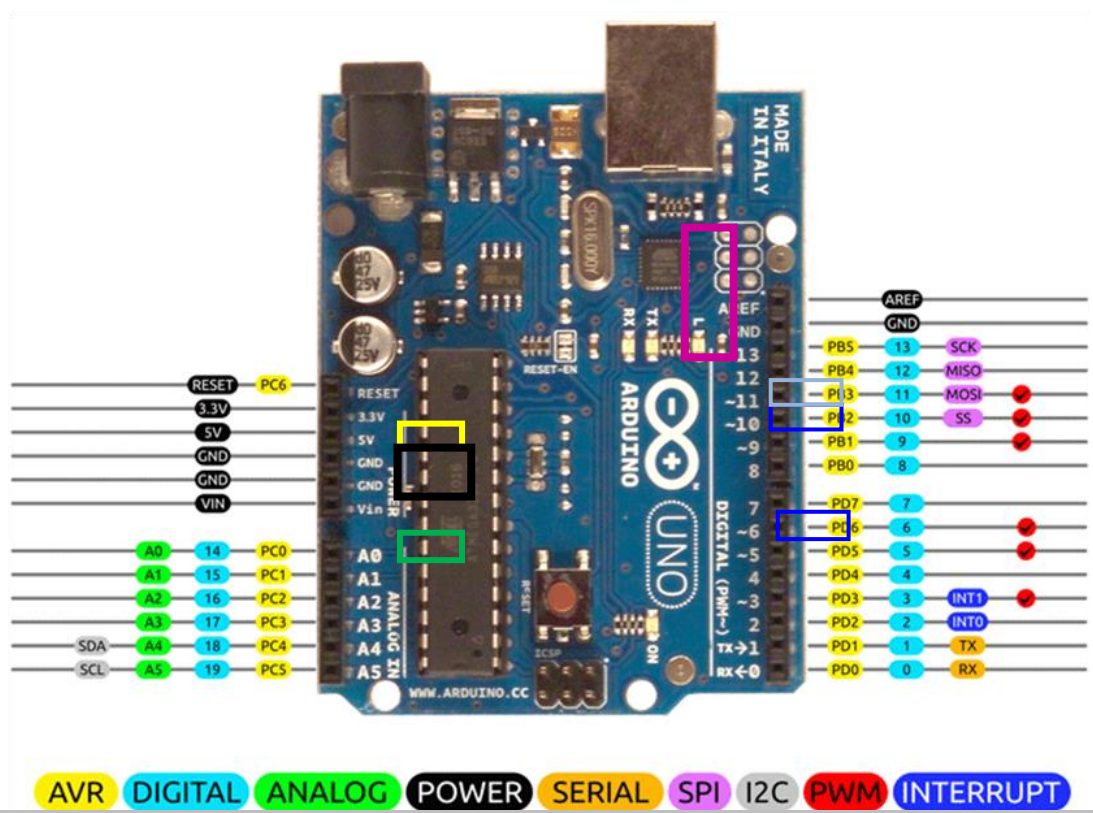
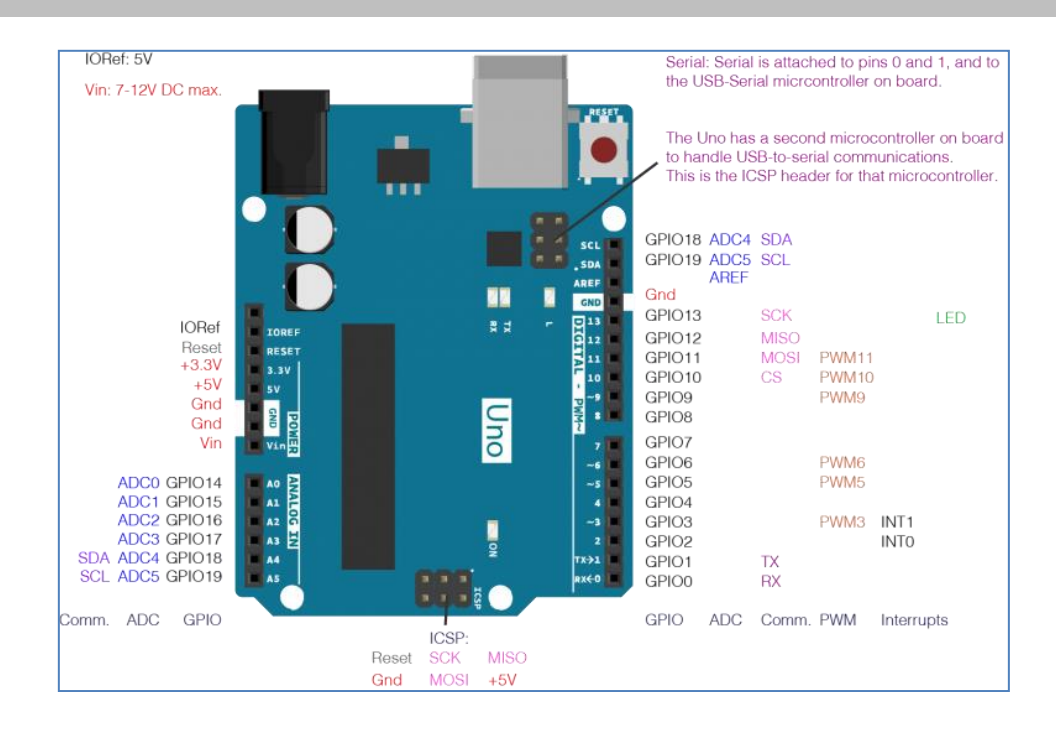


Figura 10. Detalle de los pines a utilizar (opcionales) de ARDUINO, Amarillo = polarización; Negro = GND; azul = control (SI, CLK); Cian = motor Verde = ADC; Magenta = comunicaciones, TX.





Laboratori Sistemes de Suport a la Informació. 2024 Control del Texas TSL1401 mediante microcontrolador ARDUINO. Triangulación Óptica.

# 4. Nivel de programación 1: Generación de las señales de control del TSL1401.

- El TSL1401 se alimenta a V<sub>DD</sub>=5V, tensión que podemos obtener de la placa ARDUINO
- Se debe seleccionar dos pines de salida para generar las señales SI y CLK.
- Inicialización de los pines:

#define TSL1401\_ST 6 #define TSL1401\_CLK 10 #define TSL1401\_VIDEO A0

• La figura 11 es un detalle de la secuencia de inicio START

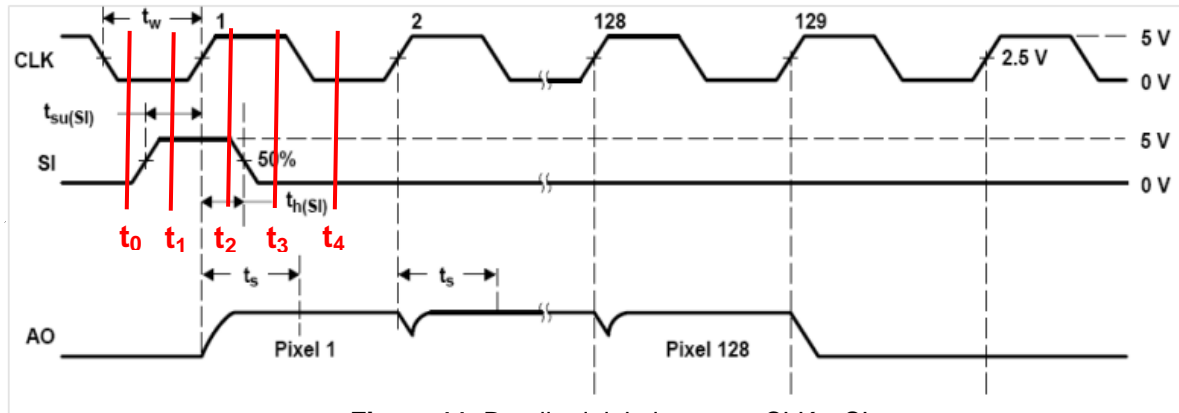


Figura 11. Detalle del timing entre CLK y SI.

Para generar la **secuencia START** definiremos la secuencia temporal de los valores de las señales SI y CLK en los instantes de tiempo t<sub>0</sub>, t<sub>1</sub>, t<sub>2</sub>, t<sub>3</sub>, t<sub>4</sub> y t<sub>5</sub> tal y como aparecen en la figura 11.

|                       | CLK<br>(pin 10) | SI<br>(pin 6) |
|-----------------------|-----------------|---------------|
| t <sub>0</sub>        | "LOW            | LOW           |
| t <sub>1</sub>        | ?               | ?             |
| t <sub>2</sub>        | ?               | ?             |
| t <sub>3</sub>        | ?               | ?             |
| t <sub>4</sub>        | ?               | ?             |
| <b>t</b> <sub>5</sub> | ?               | ?             |
| t <sub>6</sub>        | ?               | ?             |



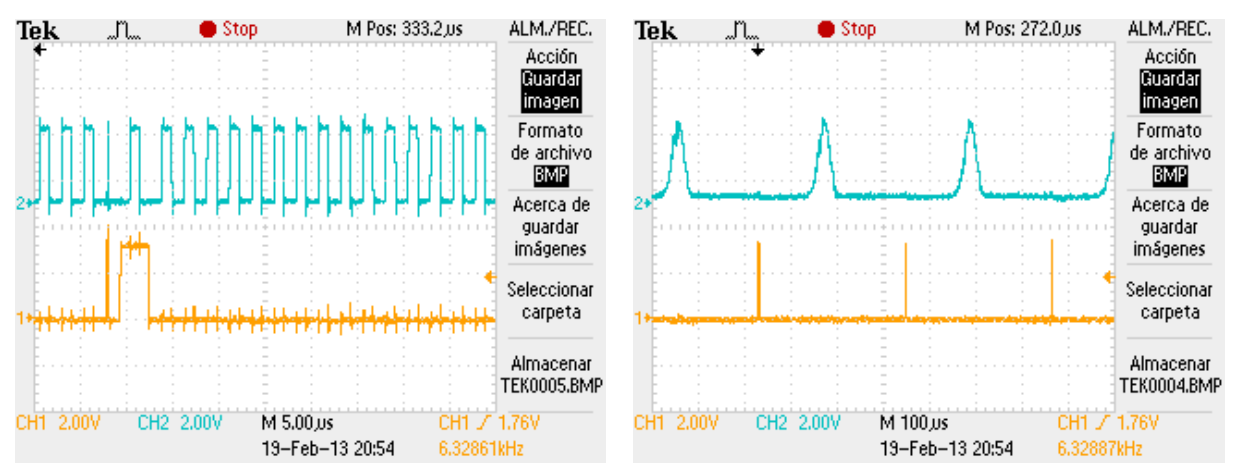
# Laboratori Sistemes de Suport a la Informació. 2024 Control del Texas TSL1401 mediante microcontrolador ARDUINO. Triangulación Óptica.

 Programa principal. Debe encargarse de generar las señales de control necesarias para gobernar el Array de fotodetectores. El esqueleto principal del programa puede consistir en un bucle de repetición infinita como el que a continuación se detalla:

```
#define TSL1401_ST 6
#define TSL1401_CLK 10
#define TSL1401 VIDEO A0
#define Pin_Motor 11
void setup()
 pinMode(Pin_Motor, OUTPUT);
pinMode(TSL1401_ST, OUTPUT);
pinMode(TSL1401_CLK, OUTPUT);
 pinMode(A0,INPUT);
void loop()
 // START SEQUENCE
 digitalWrite(TSL1401_ST,???); digitalWrite(TSL1401_CLK, ???); delayMicroseconds(2); digitalWrite(TSL1401_ST, ???); digitalWrite(TSL1401_CLK, ???); delayMicroseconds(2);
 digitalWrite(TSL1401_ST, ???); digitalWrite(TSL1401_CLK, ???); delayMicroseconds(2); digitalWrite(TSL1401_ST, ???); digitalWrite(TSL1401_CLK, ???); delayMicroseconds(2);
 digitalWrite(TSL1401_ST, ???); digitalWrite(TSL1401_CLK, ???); delayMicroseconds(2);
 for(int i=0;i< nPixel;i++)
    digitalWrite(TSL1401_CLK, ???); delayMicroseconds(5);
    digitalWrite(TSL1401_CLK, ???); delayMicroseconds(5);
 // SE REPITE LA SECUENCIA DE START
 // CUANDO SE TRANSMITE EN SERIE EL TIEMPO DE INTEGRACION SIGUE TRABAJANDO
 digitalWrite(TSL1401_ST,???); digitalWrite(TSL1401_CLK, ???); delayMicroseconds(2);
 digitalWrite(TSL1401_ST, ???); digitalWrite(TSL1401_CLK, ???); delayMicroseconds(2);
 digitalWrite(TSL1401_ST, ???); digitalWrite(TSL1401_CLK, ???); delayMicroseconds(2); digitalWrite(TSL1401_ST, ???); digitalWrite(TSL1401_CLK, ???); delayMicroseconds(2);
 digitalWrite(TSL1401_ST, ???); digitalWrite(TSL1401_CLK, ???); delayMicroseconds(2);
```

Figura 12. Líneas generales del código para controlar el TSL1401

Con este código se puede comprobar el funcionamiento del array de fotodetectores. La figura 13-izquierda muestra las capturas de las señales de control, SI y CLK. La figura 13-derecha muestra la salida analógica del array de 128 pixeles, cuando incide un láser sobre el array de detectores. Se toma como referencia la señal SI (amarillo) para el sincronismo.



**Figura 13.** Izquierda: azul = CLK, amarillo = START Derecha: azul = sensor output, amarillo = START



Laboratori Sistemes de Suport a la Informació. 2024 Control del Texas TSL1401 mediante microcontrolador ARDUINO. Triangulación Óptica.

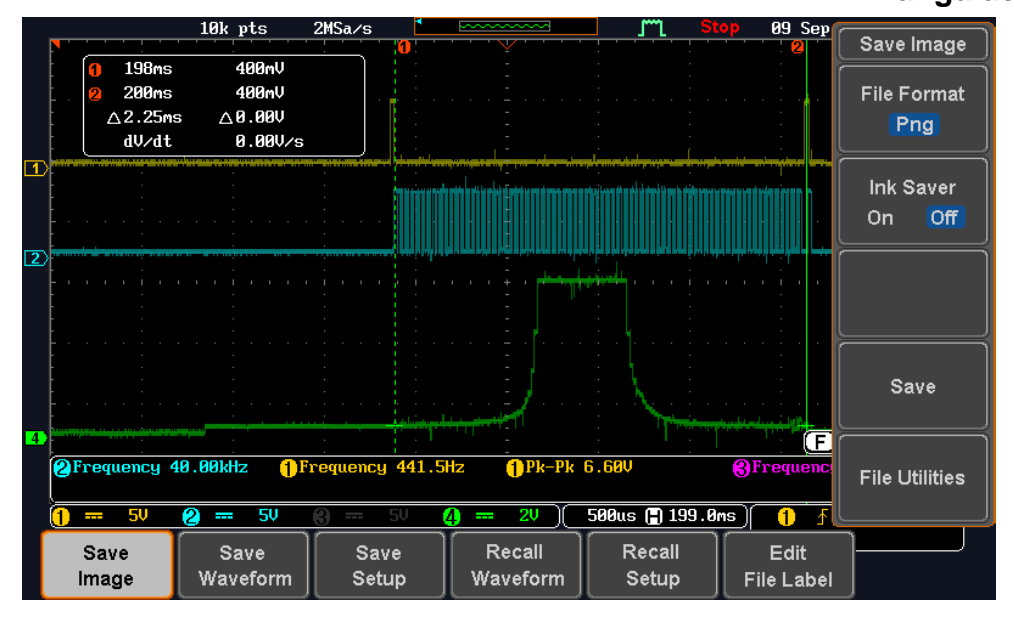


Figura 14. Amarillo = START; Azul = CLK; Verde = sensor output.  $\Delta t_{TOTAL}$  array =2.25ms

La figura 14 muestra la salida del sensor TSL1401, que dura alrededor de  $\Delta t_{TOTAL}$  =2.25ms. En este tiempo se incluyen los 'delayMicroseconds' utilizados en cada actualización de los pines, aunque no es un tiempo excesivo. Además el control de un paso de motor, que se comentará en la siguiente sección.

La figura 15 es un detalle de la señal CLK que controla la salida del sensor. Es bastante simétrica,  $\Delta t_{PIXEL} \approx 21 \mu s$ . El tiempo total es  $\Delta t_{TOTAL} = 128 \cdot \Delta t_{PIXEL} \approx 2.688 m s$ , que es similar el medido directamente en el ociloscopio en la figura 14.



Figura 15. Amarillo = START; Azul = CLK; Verde = sensor output
Δt<sub>PIXEL</sub> ≈21μs



Laboratori Sistemes de Suport a la Informació. 2024 Control del Texas TSL1401 mediante microcontrolador ARDUINO. Triangulación Óptica.

#### 5. Nivel de programación 2: motor paso-a-paso.

El objetivo global es rotar un objeto con ayuda de un motor, y medir la distancia del objeto, concretamente la del spot del láser sobre el objeto, al sistema óptico de medida.

Añadiremos una prestación adicional al código anterior del microcontrolador. Se utilizará uno de los pines digitales de salida para generar una señal cuadrada y controlar el movimiento de nuestro motor paso-a-paso. En la figura 12 se ha definido el Pin\_Motor=11

El movimiento del motor se realizará antes de efectuar la lectura del sensor lineal de fotodetectores. Según como estén dispuestas las fases en cada una de las placas de control, **se puede necesitar una o dos secuencias HIGH-LOW** para generar un paso de motor que equivale a ángulo=1.8º Se debe añadir <u>un tiempo de espera razonable</u> para observar la rotación del motor.

El texto que se debe incluir antes de programar la lectura del ADC podría ser:

```
// MOVIMIENTO DEL MOTOR (un paso)
    digitalWrite(Pin_Motor,HIGH);
    delay(??);
    digitalWrite(Pin_Motor,LOW);
    delay(??);
    digitalWrite(Pin_Motor,HIGH);
    delay(??);
    digitalWrite(Pin_Motor,LOW);
    delay(??);
```

Figura 16. Código para mover un paso el motor.

La figura 17 muestra la tarjeta controladora del motor paso-a-paso.

- 1. Se tiene una entrada de 5V para polarizar la electrónica digital de la placa.
- La alimentación del motor será del orden de V<sub>motor</sub>=10V
- 3. Ambas tensiones las obtendremos de una fuente de alimentación externa.
- 4. El conector BNC es la señal pulsada 0-5V generada con ARDUINO. Utilizar en este caso un cable BNC-banana/cocodrilo para conectarse a ARDUINO.

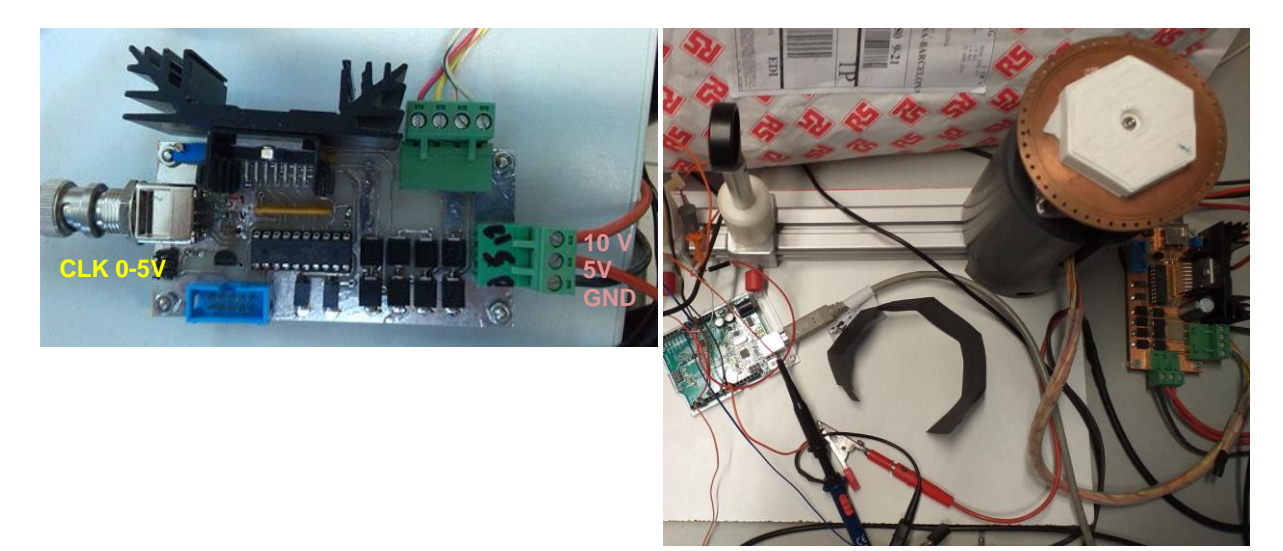


Figura 17. Tarjeta controladora y motor paso-a-paso



Laboratori Sistemes de Suport a la Informació. 2024 Control del Texas TSL1401 mediante microcontrolador ARDUINO. Triangulación Óptica.

#### 7. Nivel de programación 3: adquisición de la lectura del sensor con el ADC

#### 7.1 Objetivo:

En cada paso de motor, llamar al ADC para adquirir los 128 valores que entrega el array de fotodetectores. Estos valores se almacenarán en un vector

# 7.2 Descripción:

```
int vector[128]; // Vector para guardar la variable analógica
....
//
for(int i=0;i< nPixel;i++)
{
    digitalWrite(TSL1401_CLK,HIGH); delayMicroseconds(ESPERA);
    digitalWrite(TSL1401_CLK,LOW); delayMicroseconds(ESPERA);
    vector[i] = analogRead(A0);
}</pre>
```

Figura 18. Líneas de código para llamar al ADC.

#### **NOTA IMPORTANTE**

El tipo de programación descrito en el cuadro de la figura 12 podría haberse realizado generando una señal PWM para producir la señal CLK y una señal SI para inicializar la integración. En este caso:

- La señal de salida AO del sensor estaría sincronizada con el PWM.
- La llamada al ADC debería realizarse también de forma síncrona con el PWM, asumiendo que el tiempo de conversión debe estar contenido en un ciclo de la señal CLK-PWM.
- Nos obligaría a configurar los registros del ADC para llevar a cabo la digitalización de la señal.

Creemos que la programación programando los GPIO es algo más sencilla que la que se acaba de proponer.

#### **ENTREGA REPORT BÁSICO:**

- Captura del osciloscopio mostrando las señales SI y CLK
- Captura del osciloscopio mostrando las señales SI y OUT
  - o Con el spot del láser
  - o Con una cartulina negra que tape medio sensor: "detector de bordes"
- Captura del osciloscopio de SI y OUT con LUZ AMBIENTE.
- Captura del osciloscopio de SI y OUT con EL SENSOR HACIA ABAJO.
  - o Indicar en este caso el valor Vout y la frecuencia CLK.
  - Aumentar el tiempo de integración para obtener un valor Vout mayor. Valor de Vout y frecuencia CLK.
- Captura del osciloscopio con la transmisión de los primeros bytes a través de la UART, mostrando la cabecera.
- Captura del osciloscopio con la salida del sensor (CANAL1) y con la señal UART (CANAL2).



Laboratori Sistemes de Suport a la Informació. 2024 Control del Texas TSL1401 mediante microcontrolador ARDUINO. Triangulación Óptica.

#### Nivel de programación 4: configuración/transmisión con UART

#### 8.1 Inicialización de la UART.

```
Example Code:

void setup() {

//Initialize serial and wait for port to open:

Serial.begin(9600);

while (!Serial) {

; // wait for serial port to connect. Needed for native USB

}

void loop() {

//proceed normally
}
```

**Figura 19.** Líneas de código de inicialización de la UART. https://www.arduino.cc/reference/en/language/functions/communication/serial/

#### 8.2. Transmisión con la UART.

Tras terminar de almacenar los 128 valores del array TSL1401 se transmiten los 128X2 bytes.

```
// TRANSMISION DE LA CABECERA
Serial.write(255);
Serial.write(0);

// TRANSMISION DE LOS 128 PIXELS
for(int i=0;i< nPixel;i++)
{
    Serial.write(highByte(vector[i]));
    Serial.write(lowByte(vector[i]));
}
delay(5);</pre>
```

Figura 20. Líneas de código para la transmisión de los 128x2 bytes previamente almacenados.

```
Serial.write()
Writes binary data to the serial port. This data is sent as a byte or series of bytes; to send the characters
representing the digits of a number use the print() function instead.
Syntax
          Serial.write(val)
          Serial.write(str)
          Serial.write(buf, len)
Parameters
          Serial: serial port object. See the list of available serial ports for each board on the Serial main page.
          val: a value to send as a single byte.
          str: a string to send as a series of bytes.
          buf: an array to send as a series of bytes.
         len: the number of bytes to be sent from the array.
Returns
         write() will return the number of bytes written, though reading that number is optional. Data type: size_t.
Example Code
void setup() {
 Serial.begin(9600);
void loop() {
 Serial.write(45); // send a byte with the value 45
 int bytesSent = Serial.write("hello"); //send the string "hello" and return the length of the string.
```

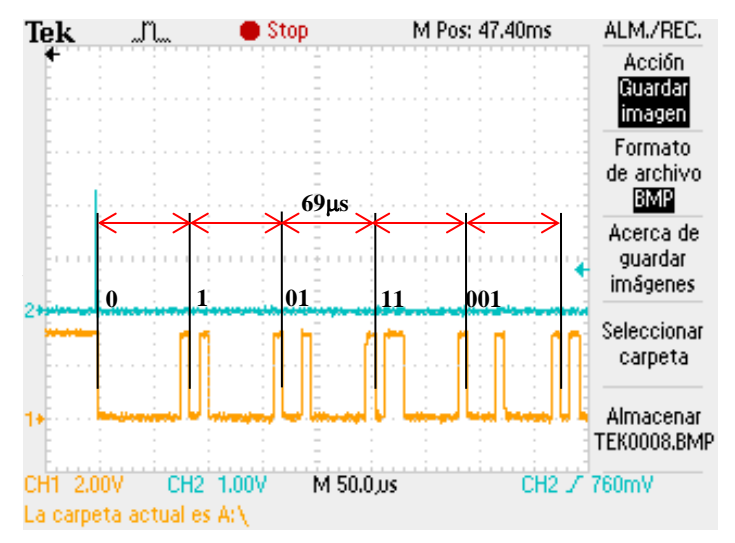
**Figura 21.** Descripción de la función Serial.write() de ARDUINO. <a href="https://www.arduino.cc/reference/en/language/functions/communication/serial/">https://www.arduino.cc/reference/en/language/functions/communication/serial/</a>



Laboratori Sistemes de Suport a la Informació. 2024 Control del Texas TSL1401 mediante microcontrolador ARDUINO. Triangulación Óptica.

#### 8.3 Uso de la UART (OPCIONAL)

Se comprobará la correcta programación de la UART. Para ello se programa una transmisión secuencial de números enteros en orden creciente. El resultado debe ser equivalente a lo que se muestra en la figura 22. Se observa que la duración de un símbolo es de 69µs, que corresponde a la velocidad de transmisión de 115200bps. Observar el bit de START y el bit de STOP



**Figura 22.** Azul: pulso START del sensor TSL1401 Amarillo: transmisión serie de números enteros en orden creciente: 0,1,2,3,4,....

En la figura 23, en verde se tiene la salida del sensor, que coincide con la entrada del ADC, y en magenta, después de la adquisición del perfil, la transmisión serie de los primeros bytes. Se observa la cabecera "FF"+"0".

El tiempo necesario para la transmisión serie de la información es de  $[2+128*2]*70\mu s = 18060\mu s \approx 18ms$ , que, junto a unas demoras adicionales introducidas por software, da un total de unos 22ms.



**Figura 23.** Amarillo = START; Azul = CLK; Verde = sensor output; Magenta = UART Captura del sensor y transmisión de los primeros pixels (2bytes/pixel).



Laboratori Sistemes de Suport a la Informació. 2024 Control del Texas TSL1401 mediante microcontrolador ARDUINO. Triangulación Óptica.

En la figura 24, se observa toda la ráfaga de la UART y los 22ms de duración.



Figura 24. Detalle de los tiempos totales.

Amarillo = START; Azul = CLK; Verde = sensor output (<3ms); Magenta = UART (22ms)

#### 8. Nivel de programación 5: recepción de datos con MATLAB.

#### 9.1 Inicialización de las comunicaciones.

La primera tarea para realizar es localizar el número de puerto correspondiente a ARDUINO. Para ello acceder a "administrador de Dispositivos" + "Puertos (COM y LPT)" de su ordenador y buscar el número de puerto asignado por WINDOWS®. También sabemos el número de puerto desde el momento en que se programa ARDUINO.

En la figura 25 se describen las instrucciones básicas en MATLAB para configurar el puerto serie.

```
Puerto = 'COM26';
%% borrar posible conexión previa
delete(instrfind({'Port'},{Puerto}));
%arduino = serial(Puerto,'BaudRate',115000,'Terminator','CR/LF');
arduino = serial('COM26');
set(arduino,'BaudRate',115200) % speed of data
set(arduino,'InputBufferSize',(2+128*2)*1); % Size of the buffer
set(arduino,'InputBufferSize',(2+128*2)*1); % Size of the buffer
set(arduino,'DataBits',8) % define number ob bits
set(arduino,'Parity','none'); % No parity
set(arduino,'StopBits',1); % number of bit stops
```

Figura 25. Código MATLAB para configurar la conexión serie



# Laboratori Sistemes de Suport a la Informació. 2024 Control del Texas TSL1401 mediante microcontrolador ARDUINO. Triangulación Óptica.

#### 9.2 Lectura de datos.

Para evitar conflictos o pérdida de tramas enviadas por ARDUINO, sería interesante que MATLAB solicitase la ráfaga de 128 pixels. Para ello se transmite un número o carácter que deberá reconocer ARDUINO. En este caso transmitimos el número entero 2

```
fwrite(arduino,2); % Escritura de MATLAB en el puerto serie
```

En ARDUINO, dentro de loop() se deberá estar chequeando continuamente el puerto serie, y actuar cuando se reciba este entero = 2.

#### if(Serial.available()>0) // Comando en ARDUINO para leer el puerto serie

Con este ejemplo si ARDUINO recibiese un "2" debería ejecutar lo descrito en las secciones anteriores: secuencia START, 128 CLKs y 128 llamadas al ADC

Una propuesta de código en MATLAB sería:

- 1. Enviar desde el PC un carácter solicitando lectura de "frame"
- 2. Leer dos bytes consecutivos. En la sección 8.3 hemos utilizado "FF"+"0"
  - %Leemos un primer byte
  - aux1 = fread(arduino,1);
  - % Leemos un segundo byte
    - aux2 = fread(arduino,1) ;
- 3. Si estos coinciden secuencialmente con 'FF' i '00' se trata de una cabecera y se procede a leer los siguientes 128x2 bytes.

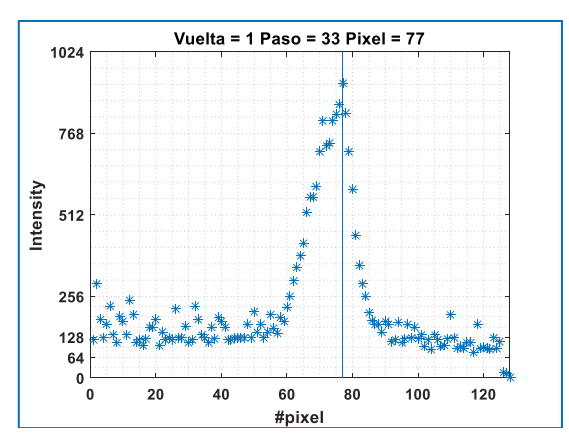
#### **EJEMPLO:**

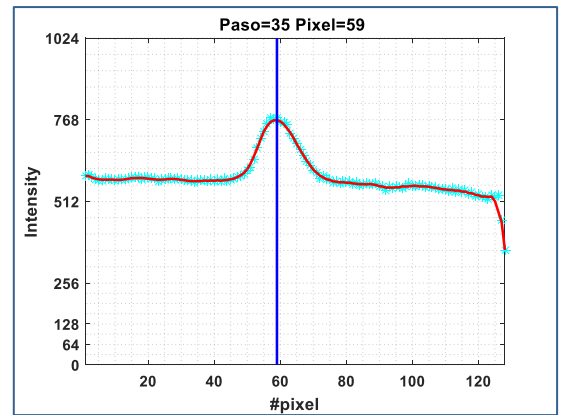
```
fwrite(arduino,2);
flushinput(arduino);
flushoutput(arduino);
%Leemos un primer byte
aux1 = fread(arduino,1);
% Leemos un segundo byte
aux2 = fread(arduino,1);
if aux1 == 255 && aux2 == 0
      frame = frame + 1;
      disp(sprintf('Head detected %d',frame));
      for pixel=1:128
        byte_alto = fread(arduino,1); % Primer byte
byte_bajo = fread(arduino,1); % Segundo byte
         Amplitud(pixel) = byte_bajo + byte_alto*256;
     end
end
clf;
plot(Amplitud, '*');
xlabel('#pixel'); ylabel('Intensity'); set(gca, 'FontSize',12, 'FontWeight','bold','YTick',[0 64 128 256 512 768 1024]);
axis([0 128 0 1024]);
grid minor
```

Figura 26. Líneas de código MATLAB para leer la UART con los datos de ARDUINO



Laboratori Sistemes de Suport a la Informació. 2024 Control del Texas TSL1401 mediante microcontrolador ARDUINO. Triangulación Óptica.





**Figura 27.** Captura por MATLAB de una trama de 128 pixels y posición del pixel más iluminado. Derecha: Cian = señal recibida. Rojo = señal suavizada

La figura 28-izquierda representa la captura de una figura con forma hexagonal. Cada lado del hexágono genera cada uno de los lóbulos de la figura, tanto en la representación cartesiana como la polar, figura 28-derecha.

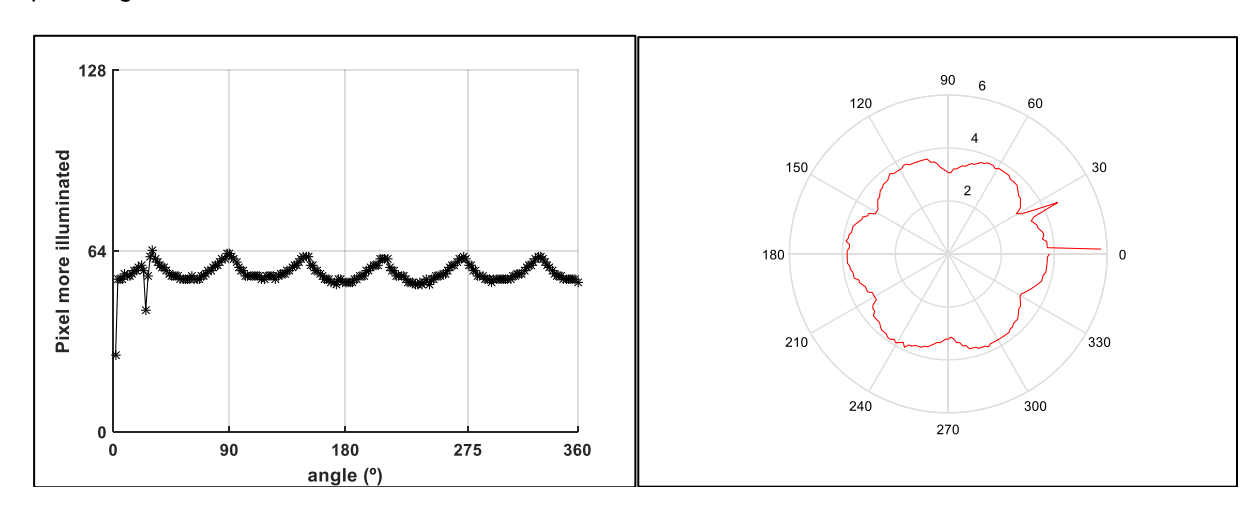


Figura 28. Representación cartesiana (izquierda) y polar (derecha) del pixel más iluminado para cada uno de los pasos de motor. 200pasos x1.8º = 360º. La figura original es un hexágono.

#### 9.3 Corrección / calibrado.

El <u>sistema óptico no es lineal</u> y debe hacerse un <u>calibrado previo del pixel más iluminado vs</u> <u>distancia</u>. Para ello, rotando manualmente el objeto, se mide el pixel más iluminado para las distancias máxima y mínima del objeto a escanear.

 $D_{min} \Rightarrow pixel_{min}$  $D_{max} \Rightarrow pixel_{max}$ 

No obstante, como nuestro rango de distancias es pequeño supondremos linealidad. Con estos cuatro valores obtener la ecuación de una recta, D = f(pixel), que proporcione la distancia en función del pixel más iluminado.



Laboratori Sistemes de Suport a la Informació. 2024 Control del Texas TSL1401 mediante microcontrolador ARDUINO. Triangulación Óptica.

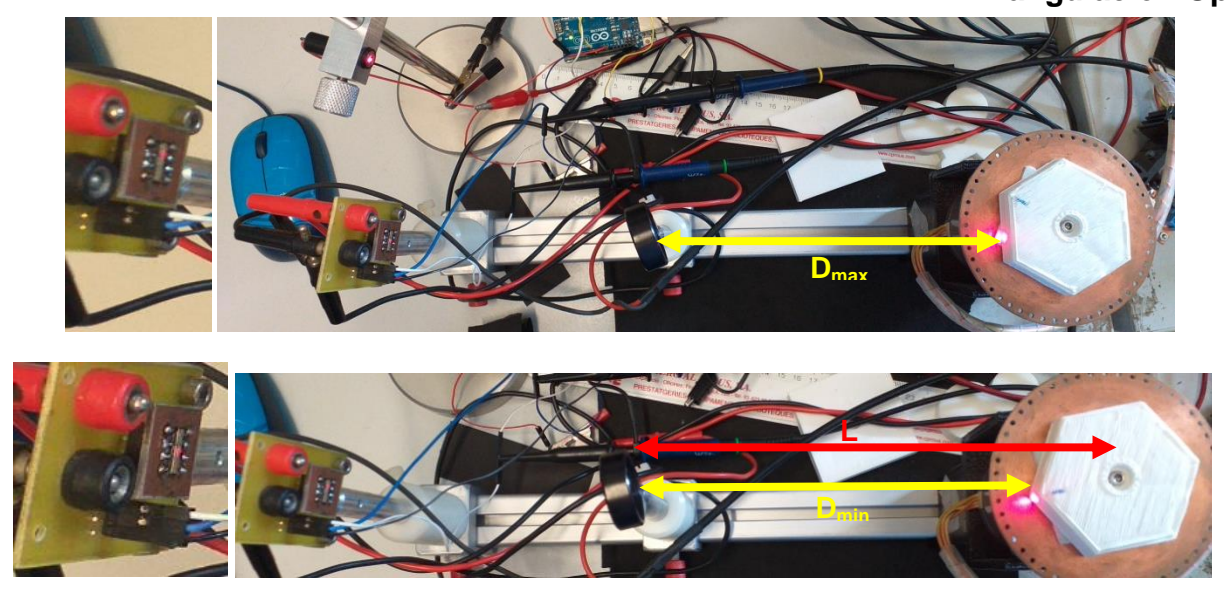


Figura 29. Medida de [D<sub>min</sub>, pixel<sub>min</sub>] y [D<sub>max</sub>,pixel<sub>max</sub>]

Tras corregir los valores del pixel más iluminado, la figura 30 muestra el resultado final aproximado para la figura hexagonal escaneada:



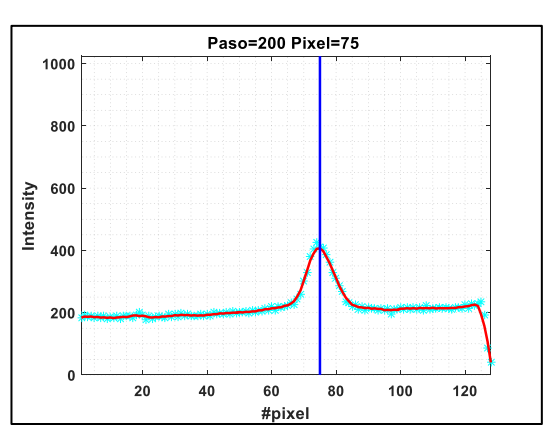
Figura 30. Corrección a distancias desde el eje del motor del objeto de la figura 31.

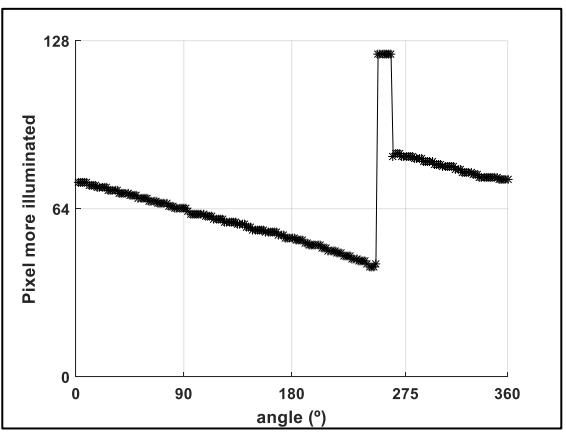


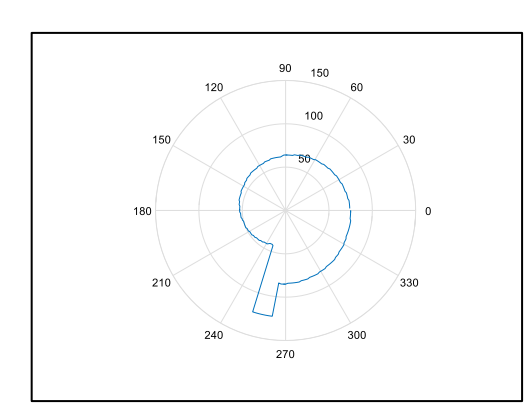


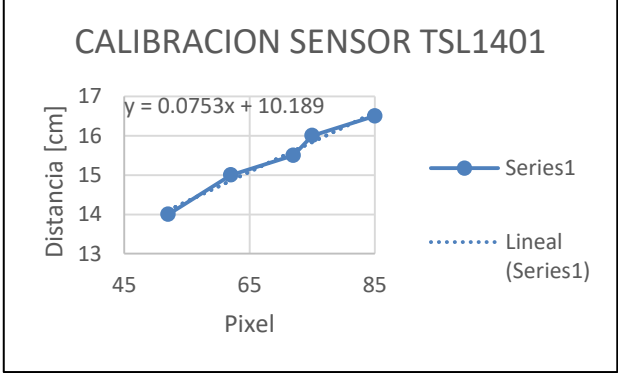
Laboratori Sistemes de Suport a la Informació. 2024 Control del Texas TSL1401 mediante microcontrolador ARDUINO. Triangulación Óptica.

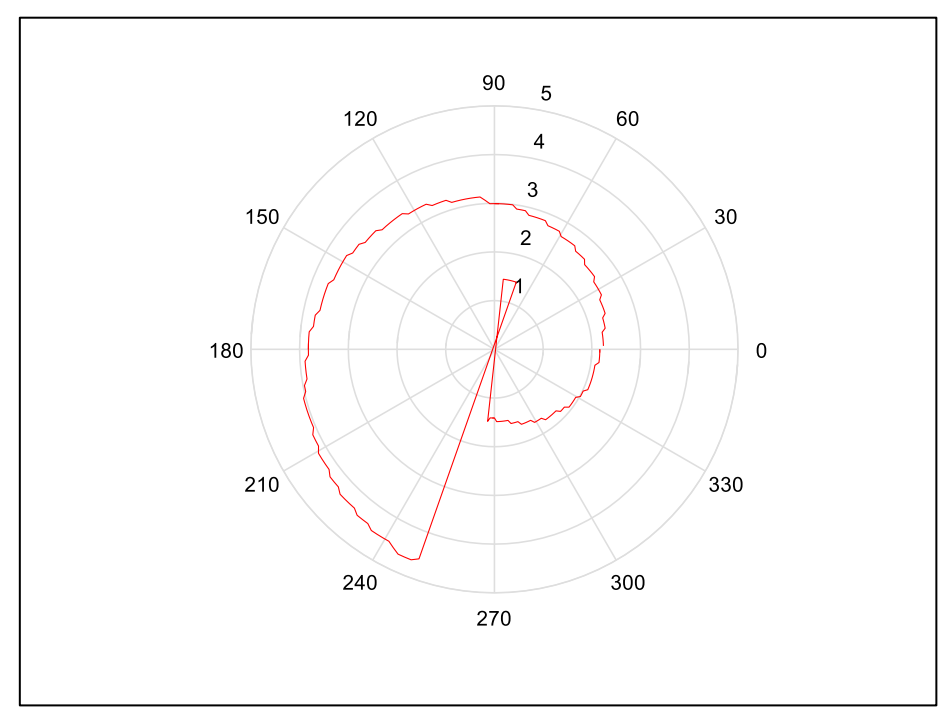
# **TRIANGULACIÓN 6 NOVIEMBRE 2020**













Laboratori Sistemes de Suport a la Informació. 2024 Control del Texas TSL1401 mediante microcontrolador ARDUINO. Triangulación Óptica.

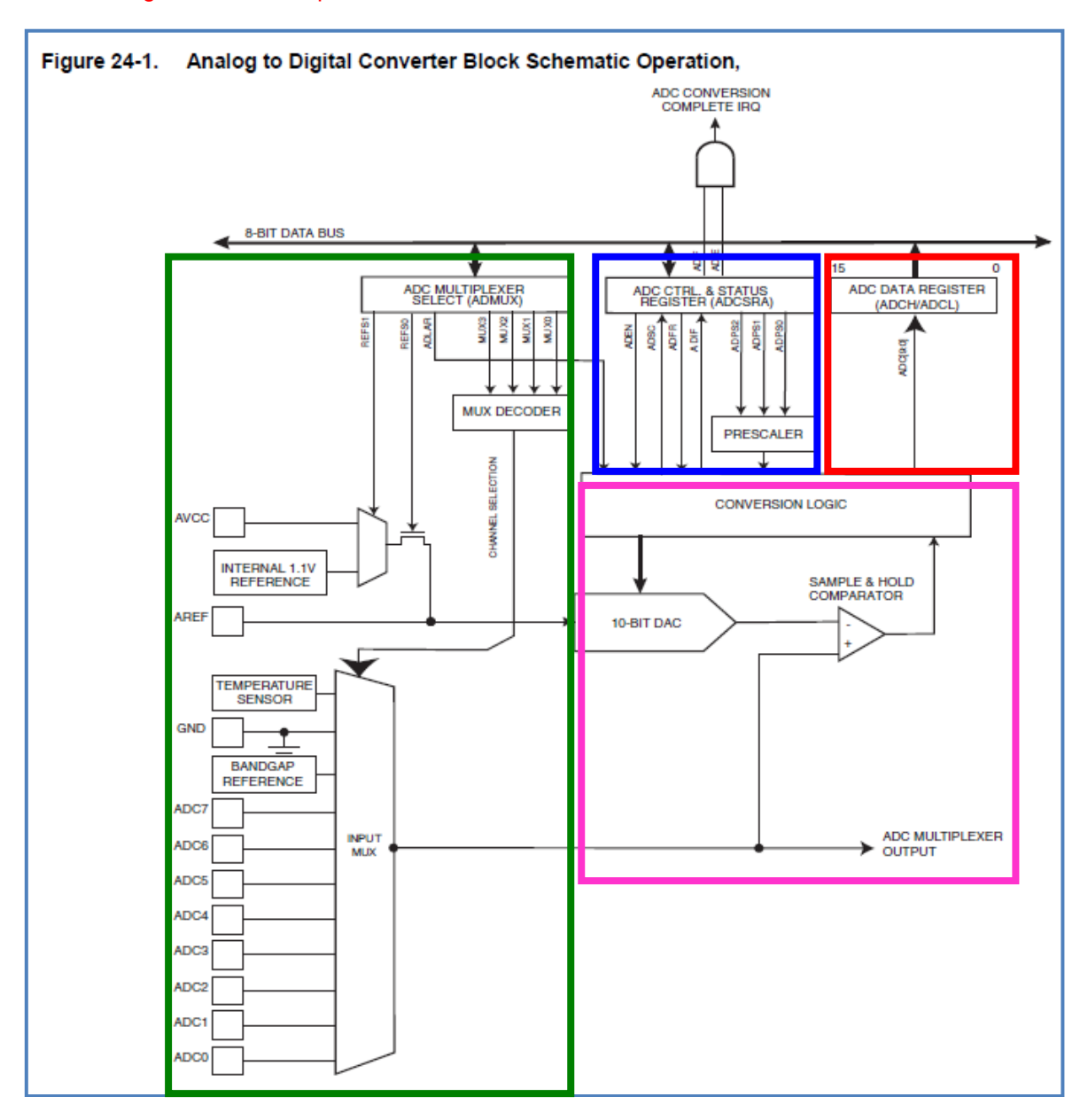
# 8. APÉNDICE: adquisición de la lectura del sensor con el ADC.

#### 8.1 Objetivo:

- 1. Configurar el ADC del ARDUINO-UNO.
- 2. En cada paso de motor, llamar al ADC para adquirir los 128 valores del array de fotodetectores.

#### 7.2 General Descripción:

- The ADC is connected to an 8-channel Analog Multiplexer which allows eight single-ended voltage inputs constructed from the pins of Port A.
- The single-ended voltage inputs refer to 0V (GND).
- The analog input channel is selected by writing to the MUX bits in ADMUX.
- The ADC converts an analog input voltage to a 10-bit digital value through successive approximation. The minimum value represents GND and the maximum value represents the voltage on the AREF pin minus 1 LSB





Laboratori Sistemes de Suport a la Informació. 2024 Control del Texas TSL1401 mediante microcontrolador ARDUINO. Triangulación Óptica.

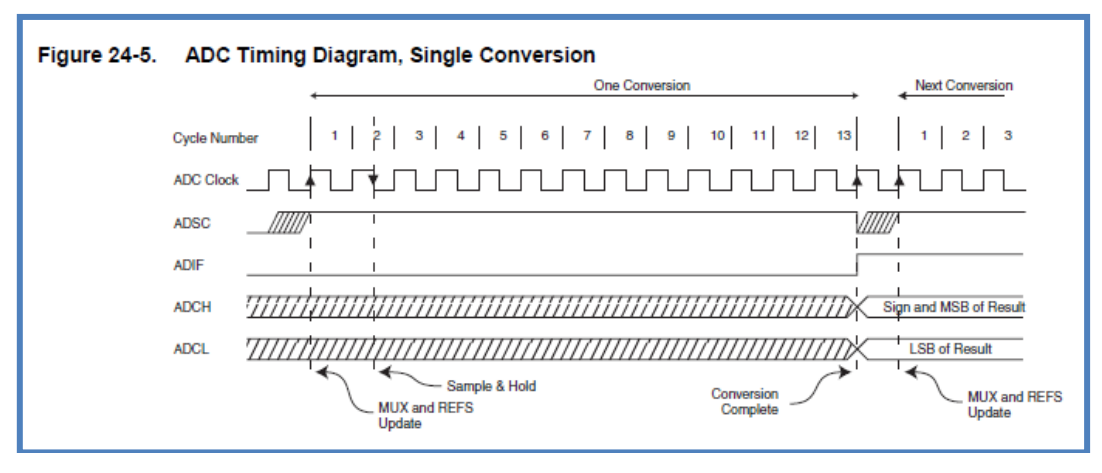
Figura 17. Esquema del ADC.

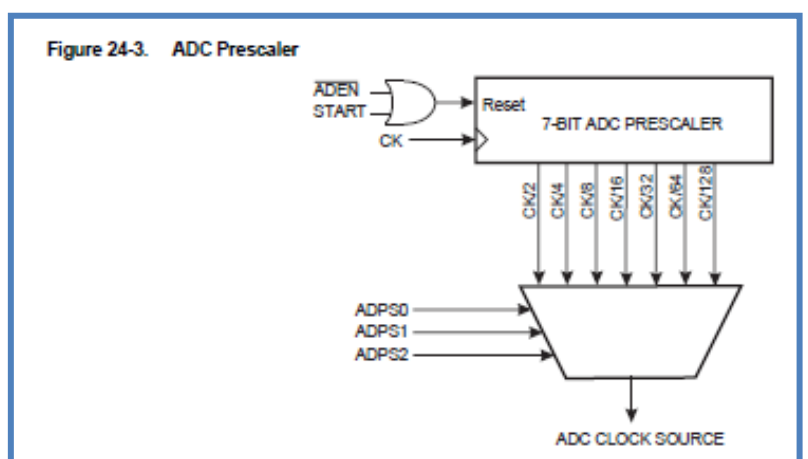
#### 7.3 ADC Conversion.

- The ADC is enabled by setting the ADC Enable bit, ADEN in ADCSRA.
- The ADC generates a 10-bit result which is presented in the ADC Data Registers, ADCH and ADCL. By default, the result is presented right adjusted, but can optionally be presented left adjusted by setting the ADLAR bit in ADMUX.
- If the result is left adjusted and no more than 8-bit precision is required, it is sufficient to read ADCH.
- Otherwise, ADCL must be read first, then ADCH, to ensure that the content of the Data Registers belongs to the same conversion. Once ADCL is read, ADC access to Data Registers is blocked.

#### 7.4 Preescaler:

- By default, the successive approximation circuitry requires an input clock frequency between 50kHz and 200kHz to get maximum resolution.
- The ADC module contains a prescaler, which generates an acceptable ADC clock frequency from any CPU frequency above 100kHz. The prescaling is set by the ADPS bits in ADCSRA.
- A normal conversion takes 13 ADC clock cycles. The first conversion after the ADC is switched on (ADEN in ADCSRA is set) takes 25 ADC clock cycles in order to initialize the analog circuitry.
- When a conversion is complete, the result is written to the ADC Data Registers (ADCL & ADCH), and ADIF is set.







Laboratori Sistemes de Suport a la Informació. 2024 Control del Texas TSL1401 mediante microcontrolador ARDUINO. Triangulación Óptica.

**Figura 18.** Arriba: Una conversión normal necesita 13 clocks del ADC. Abajo: El preescaler controla el ADC-CLOCK.

#### 7.5 Registros.

#### 24.9.1 ADMUX - ADC Multiplexer Selection Register

| Bit           | 7      | 6     | 5     | 4 | 3    | 2    | 1    | 0    |       |
|---------------|--------|-------|-------|---|------|------|------|------|-------|
| (0x7C)        | REF\$1 | REFS0 | ADLAR | - | MUX3 | MUX2 | MUX1 | MUX0 | ADMUX |
| Read/Write    | R/W    | R/W   | R/W   | R | R/W  | R/W  | R/W  | R/W  | Γ     |
| Initial Value | 0      | 0     | 0     | 0 | 0    | 0    | 0    | 0    |       |

#### . Bit 7:6 - REFS[1:0]: Reference Selection Bits

These bits select the voltage reference for the ADC, as shown in Table 24-3. If these bits are changed during a conversion, the change will not go in effect until this conversion is complete (ADIF in ADCSRA is set). The internal voltage reference options may not be used if an external reference voltage is being applied to the AREF pin.

 Table 24-3.
 Voltage Reference Selections for ADC

 REFS1
 REFS0
 Voltage Reference Selection

 0
 0
 AREF, Internal V<sub>ref</sub> turned off

 0
 1
 AV<sub>CC</sub> with external capacitor at AREF pin

 1
 0
 Reserved

 1
 1
 Internal 1.1V Voltage Reference with external capacitor at AREF pin

#### Bit 5 – ADLAR: ADC Left Adjust Result

The ADLAR bit affects the presentation of the ADC conversion result in the ADC Data Register. Write one to ADLAR to left adjust the result. Otherwise, the result is right adjusted. Changing the ADLAR bit will affect the ADC Data Register immediately, regardless of any ongoing conversions. For a complete description of this bit, see "ADCL and ADCH – The ADC Data Register" on page 250.

#### Bit 4 – Reserved

This bit is an unused bit in the ATmega48A/PA/88A/PA/168A/PA/328/P, and will always read as zero.

#### Bits 3:0 – MUX[3:0]: Analog Channel Selection Bits

The value of these bits selects which analog inputs are connected to the ADC. See Table 24-4 for details. If these bits are changed during a conversion, the change will not go in effect until this conversion is complete (ADIF in ADCSRA is set).

| MUX30 | Single Ended Input      |
|-------|-------------------------|
| 0000  | ADC0                    |
| 0001  | ADC1                    |
| 0010  | ADC2                    |
| 0011  | ADC3                    |
| 0100  | ADC4                    |
| 0101  | ADC5                    |
| 0110  | ADC6                    |
| 0111  | ADC7                    |
| 1000  | ADC8 <sup>(1)</sup>     |
| 1001  | (reserved)              |
| 1010  | (reserved)              |
| 1011  | (reserved)              |
| 1100  | (reserved)              |
| 1101  | (reserved)              |
| 1110  | 1.1V (V <sub>BG</sub> ) |
| 1111  | 0V (GND)                |



Laboratori Sistemes de Suport a la Informació. 2024 Control del Texas TSL1401 mediante microcontrolador ARDUINO. Triangulación Óptica.

Figura 19. Control del ADC\_channel, referencia de tensión, y orden de lectura de los bytes.

#### 24.9.2 ADCSRA - ADC Control and Status Register A

| Bit 7 6 5 4 3 2 1 0                                   |       |
|---|-------|
| 0 5 4 5 2 1 0   |       |
| (0x7A) ADEN ADSC ADATE ADIF ADIE ADPS2 ADPS1 ADPS0 AD | DCSRA |
| Read/Write R/W R/W R/W R/W R/W R/W R/W                |       |
| Inital Value 0 0 0 0 0 0 0                            |       |

#### · Bit 7 - ADEN: ADC Enable

Writing this bit to one enables the ADC. By writing it to zero, the ADC is turned off. Turning the ADC off while a conversion is in progress, will terminate this conversion.

#### · Bit 6 - ADSC: ADC Start Conversion

In Single Conversion mode, write this bit to one to start each conversion. In Free Running mode, write this bit to one to start the first conversion. The first conversion after ADSC has been written after the ADC has been enabled, or if ADSC is written at the same time as the ADC is enabled, will take 25 ADC clock cycles instead of the normal 13. This first conversion performs initialization of the ADC.

ADSC will read as one as long as a conversion is in progress. When the conversion is complete, it returns to zero. Writing zero to this bit has no effect.

#### Bit 5 – ADATE: ADC Auto Trigger Enable

When this bit is written to one, Auto Triggering of the ADC is enabled. The ADC will start a conversion on a positive edge of the selected trigger signal. The trigger source is selected by setting the ADC Trigger Select bits, ADTS in ADCSRB.

#### . Bit 4 - ADIF: ADC Interrupt Flag

This bit is set when an ADC conversion completes and the Data Registers are updated. The ADC Conversion Complete Interrupt is executed if the ADIE bit and the I-bit in SREG are set. ADIF is cleared by hardware when executing the corresponding interrupt handling vector. Alternatively, ADIF is cleared by writing a logical one to the flag. Beware that if doing a Read-Modify-Write on ADCSRA, a pending interrupt can be disabled. This also applies if the SBI and CBI instructions are used.

#### Bit 3 – ADIE: ADC Interrupt Enable

When this bit is written to one and the I-bit in SREG is set, the ADC Conversion Complete Interrupt is activated.

#### Bits 2:0 – ADPS[2:0]: ADC Prescaler Select Bits

These bits determine the division factor between the system clock frequency and the input clock to the ADC.

Table 24-5. ADC Prescaler Selections

| ADPS2 | ADPS1 | ADPS0 | Division Factor |
|-------|-------|-------|-----------------|
| 0     | 0     | 0     | 2               |
| 0     | 0     | 1     | 2               |
| 0     | 1     | 0     | 4               |
| 0     | 1     | 1     | 8               |
| 1     | 0     | 0     | 16              |
| 1     | 0     | 1     | 32              |
| 1     | 1     | 0     | 64              |
| 1     | 1     | 1     | 128             |

Figura 19. ENABLE del ADC, START CONVERSION y PREESCALER.



Laboratori Sistemes de Suport a la Informació. 2024 Control del Texas TSL1401 mediante microcontrolador ARDUINO. Triangulación Óptica.



Figura 20. Amarillo = START; Azul = CLK; Verde = sensor output
Con el ADC activo la señal CLK es algo asimétrica. La conversión del array se ha incrementado un
poco Δt₁₂8PIXELS ≈3ms frente a 2.25ms.

#### 7.6 Operación con el ADC.

En cada paso de motor se deben leer los 128 pixels del sensor. En cada pulso de CLK se llama al ADC y se almacenan sus valores en un vector para su posterior transmisión con la UART.

```
for(int i=0;i< nPixel;i++)
    {
        Ejecutar CLK_HIGH;
        Ejecutar CLL_LOW;

        // Iniciamos conversión
        ADCSRA |= (1 << ADSC); // ADC START CONVERSION
        while (bit_is_set(ADCSRA, ADSC)); // ADSC se borra cuando la conversion finalize
        //
        low = ADCL;
        high = ADCH;
        //
        vectorL[i]= low;
        vectorH[i]= high;
      }
}</pre>
```

Figura 21. Código de lectura y almacenamiento de los 128x2 bytes obtenidos por el ADC.



Grau d'Enginyeria Electrònica de Telecomunicació Laboratori Sistemes de Suport a la Informació. 2024 Control del Texas TSL1401 mediante microcontrolador ARDUINO. Triangulación Óptica.



```
APÉNDICE 1.
void Reading_TSL1401_Sensor()
 uint8 t low, high;
 // MOVIMIENTO DEL MOTOR SIN PARAR
 digitalWrite(Pin_Motor,HIGH);
  delay(1);
 digitalWrite(Pin_Motor,LOW);
  delay(1);
 digitalWrite(Pin_Motor,HIGH);
  delay(1);
 digitalWrite(Pin_Motor,LOW);
  delay(1);
 // START SEQUENCE
 digitalWrite(TSL1401_ST,LOW); digitalWrite(TSL1401_CLK,LOW); delayMicroseconds(2);
 digitalWrite(TSL1401_ST,HIGH); digitalWrite(TSL1401_CLK,LOW); delayMicroseconds(2); digitalWrite(TSL1401_ST,HIGH); digitalWrite(TSL1401_CLK,HIGH); delayMicroseconds(2);
 digitalWrite(TSL1401_ST,LOW); digitalWrite(TSL1401_CLK,HIGH); delayMicroseconds(2);
 digitalWrite(TSL1401 ST,LOW); digitalWrite(TSL1401 CLK,LOW); delayMicroseconds(2);
 for(int i=0;i< nPixel;i++)
   digitalWrite(TSL1401_CLK,HIGH); delayMicroseconds(5);
   digitalWrite(TSL1401_CLK,LOW); delayMicroseconds(5);
   // Iniciamos conversion
   ADCSRA |= (1 << ADSC); // ADC START CONVERSION
   //sbi(ADCSRA, ADSC);
   while (bit_is_set(ADCSRA, ADSC)); // ADSC se borra cuando la conversion finaliza
   low = ADCL;
   high = ADCH;
   vectorL[i]= low;
   vectorH[i]= high;
   vector[i] = (high << 8) | low ; // combinación de los dos bytes sdel ADC
 // SE REPITE LA SECUENCIA DE START
 // CUANDO SE TRANSMITE EN SERIE EL TIEMPO DE INTEGRACION SIGUE TRABAJANDO
 digitalWrite(TSL1401_ST,LOW); digitalWrite(TSL1401_CLK,LOW); delayMicroseconds(2);
 digitalWrite(TSL1401_ST,HIGH); digitalWrite(TSL1401_CLK,LOW); delayMicroseconds(2);
 digitalWrite(TSL1401_ST,HIGH); digitalWrite(TSL1401_CLK,HIGH); delayMicroseconds(2);
 digitalWrite(TSL1401_ST,LOW); digitalWrite(TSL1401_CLK,HIGH); delayMicroseconds(2);
 digitalWrite(TSL1401_ST,LOW); digitalWrite(TSL1401_CLK,LOW); delayMicroseconds(2);
void loop()
 Reading_TSL1401_Sensor();
 delay(1);
 } // END LOOP
```



```
APÉNDICE 2.
void ADC_CONFIG()
 // Borramos el registro ADCSRA y registro ADCSRB
 ADCSRA = 0; // ADC Control and Status Register A
 ADCSRB = 0; // ADC Control and Status Register B
 // ADMUX - ADC Multiplexer Selection Register.
 ADMUX |= (0 & 0x00); // SELECCIONAMOS CHANNEL 0
 //Configuramos voltage de referencia
 ADMUX |= (1 << REFS0); // REFERENCE = VCC
 //ADMUX |= (1 << ADLAR); // LEFT ADJUST
 // cbi(ADMUX,REFS1);
 // sbi(ADMUX,REFS0);
 //Seleccionamos A0 como un pin de entrada analogico
 // Nota: segun datasheer el tiempo de conversion son 13 ciclos de reloi del ADC
 //ADCSRA |= (1 << ADPS2) | (1 << ADPS0); // 32 prescaler for 38.5 KHz
 //ADCSRA |= (1 << ADPS2); // 16 prescaler for 76.9 KHz
 //ADCSRA |= (1 << ADPS1) | (1 << ADPS0);
 // 8 prescaler for 153.8 KHz ADCSRA |= (1 << ADPS1);
 // 4 prescaler a 307.7 KHz
 // ADCSRA |= (1 << ADPS0); // 2 prescaler a 615.2 DEMASIADO RAPIDO
 // ADCSRA |= (1 << ADATE); // habilita auto trigger
 // ADCSRA |= (1 << ADIE); // habilita interrupcion cuando la medida se ha completado
 // 8 prescaler for 153.8 KHz
 ADCSRA |= (1 << ADPS1); // 4 prescaler a 307.7 KHz OK
 // ADCSRA |= (1 << ADPS2); // 16 DEMASIADO LENTO
 ADCSRA |= (1 << ADEN); // ADC ENABLE //
}
```



```
APÉNDICE 3.
  %Leemos un primer byte
  aux1 = fread(arduino,1);
  % Leemos un segundo byte
  aux2 = fread(arduino,1) ;
  if aux1 == 255 && aux2 == 0
       %cabecera_detected = 1;
       frame = frame + 1;
       disp(sprintf('Head detected %d',frame));
     for pixel=1:128
        byte_bajo = fread(arduino,1); % Primer byte
byte_alto = fread(arduino,1); % Segundo byte
        if byte_alto >= 4
         disp(sprintf(\nError: frame %d aux1=%d aux2=%d pixel=%d bajo=%d alto=%d, frame, aux1,aux2,pixel,
byte_bajo, byte_alto));
          pause(0.5);
          disp('break');
          break;
          end
          Amplitud(pixel) = byte_bajo + byte_alto*256;
     clf:
     plot(Amplitud, '*');
     xlabel('#pixel');
     ylabel('Intensity');
     set(gca, 'FontSize',12, 'FontWeight','bold','YTick',[0 64 128 256 512 768 1024]);
     axis([0 128 0 1024]);
     grid minor;
       %% aJUSTE
           tipo_ajuste = fittype('gauss1');
           %tipo_ajuste = fittype('poly2');
%
           vectorx = [1:128];
           aux_ys = Amplitud;
%
           ajuste = fit(vectorx',aux_ys',tipo_ajuste);
%
%
           newY = ajuste(vectorx); % ESTO ES MAS RÁPIDO
%
          hold on;
          plot(vectorx, newY,'r-');
       [maximo, posicion_pico(paso),] = max(Amplitud);
       line([posicion_pico(paso) posicion_pico(paso)],[0 1024]);
       titulo = sprintf('Vuelta = %d Paso = %d Pixel = %d', vuelta, paso, posicion_pico(paso))
       title(titulo);
     flushoutput(arduino);
     aux1 = aux2; % para salir del bucle
```



